

آنالیز لرزه‌ای تونل‌های دوکلو در خاک‌های با قابلیت روانگرایی

حسین صالح زاده، استادیار، دانشکده مهندسی عمران، دانشگاه علم و صنعت ایران، تهران، ایران

محمد پرچمی^{*}، دانشجوی کارشناسی ارشد، دانشکده مهندسی عمران، دانشگاه علم و صنعت ایران، تهران، ایران

پست الکترونیکی نویسنده مسئول: Parchami.m@gmail.com

دریافت: ۱۳۹۳/۰۷/۲۰ - پذیرش: ۱۳۹۳/۰۲/۱۵

چکیده

سازه‌های زیرزمینی بخش جدایی‌ناپذیر زیرساخت‌های شهرنشینی امروزی را تشکیل می‌دهند. در صورتی که این سازه‌ها در مناطق زلزله خیز احداث شوند، کنترل پایداری آنها ضروری خواهد بود. در مطالعه حاضر، تحلیل دینامیکی تونل‌های دوکلوی مترو و تبریز با استفاده از نرم افزار FLAC2D مورد بررسی قرار گرفته است. مهم‌ترین مسئله در تحلیل دینامیکی این پرتوژه قرار گرفتن تونل در زیر سطح آب زیرزمینی و همچنین دارا بودن قابلیت روانگرایی خاک پیرامون تونل در قسمت‌هایی از مسیر تونل‌ها می‌باشد که در نظر گرفتن همزمان بارهای دینامیکی و فشار آب منفذی با انتخاب مدل رفتاری مناسب برای خاک را ملزم می‌سازد. مدل رفتاری موهر-کولمب برای مصالح در شرایط استاتیکی و مدل رفتاری فین برای مدل سازی اضافه فشار خفرهای دینامیکی مورد استفاده قرار گرفت. برای بررسی دینامیکی از دو سطح زلزله MCL و DBL و همچنین از سه شبتابگاشت دوزچه، لوماپریتا استفاده شده است. پایداری سیستم تگهداری تحت بارهای دینامیکی و استاتیکی بررسی شده است. نتایج به دست آمده نشان می‌دهند که شرایط مختلف بار و رویدی زلزله، توزیع فشار آب خفرهای و تنش‌های پوشش را تحت تأثیر قرار می‌دهند. افزایش فرکانس غالب بارگذاری، موجب کاهش نیروهای داخلی پوشش و فشار آب خفرهای شد. همچنین با کاهش مکریم شتاب بارگذاری، نیروهای داخلی پوشش و فشار آب خفرهای اضافی، کاهش یافتهند.

واژه‌های کلیدی: تحلیل دینامیکی، تونل‌های دوکلو، مترو تبریز، روانگرایی، سطح زلزله، مدل فین، FLAC2D

۱- مقدمه

تأثیر زلزله بر سازه‌های زیرزمینی مهم نبوده و فرض می‌شد که آنها قادر به تحمل خسارات‌های زمین لرزه می‌باشند. با وجود این، در سال‌های اخیر به دنبال وقوع چندین زلزله شدید آسیب‌های قابل توجهی به تعدادی از این سازه‌ها وارد شده است. زمانی که این نیروی زلزله در یک خاک روانگرا رخ دهد، به دلیل پدیده روانگرایی و ایجاد تغییر شکل‌های غیر قابل کنترل، تغییرات نیروها و تغییر شکل‌ها می‌تواند، به مقدار قابل توجهی تغییر نماید. با مرور موارد تاریخی اثرات زلزله روی این گونه سازه‌ها،

تونل‌های شهری از جمله تونل‌های مترو از سازه‌های پر اهمیت شهری هستند که عملکرد مناسب آنها به خصوص در زمان زلزله جهت برقراری شریان‌های حیاتی شهری از اهمیت ویژه‌ای برخوردار است. این سازه‌ها در طول عمر خود در برابر بارهای دینامیکی مختلفی قرار می‌گیرند و باید جهت این گونه بارگذاری‌ها تحلیل و طراحی شوند. یکی از این بارگذاری‌ها که بسیاری از سازه‌های مدفون در طول عمر خود تجربه می‌کنند، بارهای ناشی از زلزله می‌باشد. زمانی عقیده کلی بر این بود که

بررسی کردند. برای این بررسی، از آزمایش‌های سانتریفیوژ استفاده گردید. آنها نتیجه گرفتند که با افزایش عمق سازه از مقدار بالاروی کاسته می‌شود و قطر سازه رابطه مستقیم با بالاروی دارد. همچنین، آنها برای مطالعه تغییر شکل‌های اطراف تونل در خاک‌های روانگرا از روش سرعت‌سنگی تصویری ذرات Chian and Madabhushi (PIV)⁸ استفاده کردند (2010). پژوهش حاضر، آنالیز لرزه‌ای تونل‌های دوقلو در خاک‌هایی با قابلیت روانگرایی را مورد بررسی قرار می‌دهد. برای این منظور قسمتی از مسیر خط یک مترو تبریز در نظر گرفته شده است. مهم‌ترین مسأله در تحلیل دینامیکی این پروژه، قرار گرفتن تونل در زیر سطح آب زیرزمینی و همچنین دارا بودن قابلیت روانگرایی خاک پیرامون تونل در قسمت‌هایی از مسیر تونل‌ها می‌باشد. در این تحقیق، با در نظر گرفتن اثرات افزایش آب حفره‌ای و کاهش تنش مؤثر به بررسی روانگرایی خاک اطراف تونل و نیروهای داخلی پوشش تونل‌ها در دو سطح طراحی لرزه‌ای و با استفاده از شتابنگاشت‌های مختلف پرداخته می‌شود. برای این منظور از نرم افزار FLAC2D که قابلیت مدل‌سازی روانگرایی، با استفاده از مدل‌های پیشرفته خاک را دارا می‌باشد، استفاده می‌شود.

۲- معرفی ساختگاه زمین‌شناسی مسیر تونل‌ها

خط یک قطار شهری تبریز از سال ۱۳۸۰ بر اساس طرح جامع حمل و نقل شهر تبریز آغاز شده است. این خط به طول ۱۶۵ کیلومتر بوده و دارای ۱۸ ایستگاه می‌باشد که از جنوب غربی شهر به سمت مرکز و سپس جنوب شرقی شهر امتداد می‌یابد. این مسیر از لحظه فیزیکی به صورت هم‌سطح، نیمه عمیق، عمیق و در ارتفاع طراحی شده است. در بخش عمیق به صورت دو تونل (تک خطی) دوقلو به قطر تمام شده ۶ متر می‌باشد که از ایستگاه شماره ۷ تا ۱۷ می‌باشد. عملیات حفاری تونل‌ها با قطر حفاری ۶/۸۸ و به طول ۸ کیلومتر با استفاده از دو دستگاه ماشین حفار تونل سپردار (TBM)⁹ به روش فشار تعادل زمین (EPB)¹⁰ انجام می‌پذیرد. جداره تونل‌ها از قطعات پیش ساخته بتی مسلح می‌باشد. ضخامت قطعات بتی پیش ساخته ۳۰ سانتی‌متر و هر حلقه آن از ۵ قطعه و یک قطعه کلید تشکیل شده است (سازمان قطار شهری تبریز، ۱۳۸۲).

با وجود گستردگی

مالحظه می‌شود که نرخ خرابی آنها نسبت به سازه‌های زیرزمینی پایین‌تر است. با این حال در زلزله‌های اخیر مانند زلزله سال ۱۹۹۵ کوبه^۱ ژاپن، زلزله ۱۹۹۵ چی‌چی^۲ تایوان، زلزله ۱۹۹۹ کوجالی^۳ ترکیه، سازه‌های زیرزمینی چار خسارت عمده‌ای شده‌اند (Hashash et al., 2001). همچنین می‌توان به ۲۰۰۴ گسیختگی‌های متعدد پوشش بتی تونل‌های راه در زلزله ژاپن اشاره کرد (Yashiro et al., 2007). خرابی‌های سازه‌های زیرزمینی بر اثر روانگرایی به علت کمبود این اتفاقات و مشکلات برآورده آن کمتر مورد ارزیابی قرار گرفته است. در بعضی از نقاط جهان خرابی‌های وسیعی بر اثر روانگرایی خاک‌ها در سازه‌های زیرزمینی مشاهده شده است. به عنوان مثال؛ در زلزله چی‌چی تایوان خیلی از سازه‌های سطحی مانند پل، راه و ساختمان‌ها به دلیل روانگرایی لطمہ دیدند و این پدیده باعث ایجاد خرابی‌هایی مانند کج شدگی و واژگونی سازه‌های سطحی شد. در این زلزله بعضی از سازه‌های زیرزمینی نیز صدمات جدی دیدند. از دیگر حوادثی که روانگرایی باعث خرابی سازه‌های زیرزمینی گردیده است می‌توان به زلزله نیکاتای ژاپن (۱۹۶۴)، نیهونکای چوبو^۴ (۱۹۸۳)، لوئن^۵ فیلیپین (۱۹۹۰)، کُشیرو-اُکی^۶ (۱۹۹۳) Azadi and Mir Mohammad (۱۹۹۳) اشاره کرد (Hosseini, 2010 Khoshnoudian, 2010 Chang et al., 2002 and Shahrour, 2002, چانگ و همکاران، ۲۰۰۲)، (Xia et al., 2008، خیا و همکاران، ۲۰۰۸)، آزادی و Azadi and Mir Mohammad (Hosseini, 2010) با استفاده از روش‌های عددی، رفتار لرزه‌ای تونل مدور در خاک اشیاع با قابلیت روانگرایی را مورد بررسی قرار دادند. طبق نتایج آنها، با افزایش فشار آب حفره‌ای، سختی و مقاومت خاک به مقدار قابل توجهی کاهش می‌یابد. بنابراین، ممان خمشی پوشش تونل نیز با اشیاع شدن محیط افزایش می‌یابد. آن‌ها نتیجه گرفتند که افزایش دامنه بارگذاری و کاهش فرکانس بارگذاری موجب می‌شود که ممان خمشی به مقدار قابل توجهی افزایش یابد. همچنین اثر زلزله به ویژگی‌های تحریک بستگی دارد و با افزایش عمق سازه‌های زیرزمینی، اینمی در برابر زلزله افزایش می‌یابد. چنان و مادابوشی تأثیر عمق و قطر سازه‌های زیرزمینی بر روی بالا روى در خاک‌های با قابلیت روانگرایی

۳-معرفی نرم افزار استفاده شده

نرم افزار FLAC2D یک برنامه تفاضل محدود غیر ضمنی دو بعدی می باشد که می تواند، رفتار سازه های ساخته شده از خاک، سنگ یا دیگر موادی را که ممکن است، پس از رسیدن به حدود پلاستیک دچار جریان پلاستیک شوند، شبیه سازی کند. این بر یک طرح محاسباتی صریح لاگرانژی استوار است که مناسب مدل سازی تغییر شکل های بزرگ می باشد و این اطمینان را می دهد که شکست و جریان پلاستیک را با دقت زیادی مدل کند (Itasca Consulting Group Inc, 2005).

۴-توصیف مدل ساخته شده

هر تغییری که در محیط ایجاد می شود توزیع تنش را در محدوده ای از محیط به نام ناحیه تأثیر، تغییر می دهد. وقتی یک سازه در دل زمین حفر می شود، قسمتی از خاک و سنگ های پیرامون آن دچار تغییر شکل الاستیک یا پلاستیک می شوند. اندازه و ابعاد مدل عددی باید به گونه ای باشد که این تأثیرات در آن قابل مشاهده و بررسی باشد. با آنالیز حساسیت مدل های مختلف، مدل با ابعاد ۱۰۰ متر طول و ۴۰ متر ارتفاع در نظر گرفته شد. **شکل ۱** ابعاد مدل ساخته شده را با تعداد ۷۱۲۵ المان نشان می دهد. همچنین از مدل موهر کولمب برای تحلیل استاتیکی استفاده می شود. تونل ها به صورت دوقلو و با فاصله خارجی ۶/۷ متر است قطر حفاری تونل ها ۶/۸۸ متر، قطر خارجی سگمنت ها ۶/۶ متر و قطر داخلی تونل ها ۶ متر می باشد. ضخامت سگمنت های به کار رفته ۳۰ سانتی متر است. مشخصات سگمنت ها در جدول ۳ آورده شده است. با توجه به شرایط موجود در خط یک قطار شهری تبریز، فرض شده است که فضای باقیمانده نیز توسط تزییق دوغاب ریزدانه با عیار سیمان بالا، پر می شود. اما از آنجایی که ناحیه تزییق شده عملاً نقش مقاومتی خاصی در پایدار سازی زمین نداشته و فقط به عنوان انتقال دهنده و توزیع کننده تنش در اطراف پوشش بتنی عمل می کند، بنابراین، در مدل های ساخته شده، بخش یاد شده جزیی از زمین پیرامون تونل فرض شده است.

همچنین بر روی مرز بالایی، بار ترافیکی و بار ناشی از سازه های سطحی به صورت بار گسترده و برابر با ۲۵ کیلونیوتون بر مترمربع در نظر گرفته شده است.

زمانی و تنوع پدیده های زمین شناسی آذربایجان، واحدهای زمین شناسی تبریز و پیرامون از لحاظ زمین شناسی دارای گستردگی زمانی زیادی نبوده و سازندهای موجود متعلق به بعد از کرتاسه هستند. از نظر زمین شناسی ریخت کنونی جلگه های که شهر در آن واقع شده است، حاصل پدیده های تکتونیکی و فعالیت گسل ها، آتشفسان ها و همچنین فرسایش می باشد. شهر در جلگه های که به صورت شرقی - غربی است، واقع شده و از سمت شمال به کوه های عون بن علی با بروزند سازندهای قرمز بالای و پایینی محدود شده و حد فاصل جلگه و این کوه ها را گسل تبریز با امتداد شمال غربی - جنوب شرقی تشکیل می دهد. قسمت جنوبی نیز با تپه های کوچک که قسمت شمالی آتشفسان های سهند را تشکیل می دهند، محدود شده است (سازمان قطار شهری تبریز، ۱۳۸۲). در سنگ بستر شهر تبریز گسل های کوچک فراوانی وجود دارد که این گسل ها در بروزندهای شمالی و جنوبی شهر قابل مشاهده است. از نظر لرزه خیزی، شهر تبریز با واقع شدن بر روی کمربند آلپ هیمالیا و عبور گسل تبریز از شمال شهر و همچنین نزدیکی چند گسل از جمله گسل های شمال و جنوب می شو، گسل شرفخانه، گسل تسوج از جمله نقاط لرزه خیز می باشد. زلزله های تاریخی و شکستگی های فراوان در رسوبات کواترنری شاهد این مدعای می باشد. گسل شمال تبریز یکی از مهم ترین و فعال ترین گسل های منطقه است. این گسل دارای راستای شمال غربی - جنوب شرقی بوده و مکانیزم آن فشاری و با شیب زیاد به سوی شمال شرقی است. طول این گسل را معمولاً ۲۰۰ کیلومتر در نظر می گیرند و زلزله های سه مگنیتی در ارتباط با فعالیت گسل شمال تبریز روی داده است (سازمان قطار شهری تبریز، ۱۳۸۲).

در این مطالعه قسمتی از مسیر خط یک مترو تبریز، بین ایستگاه های ۱۳ تا ۱۴ بررسی شده است. خصوصیات تئوری مکانیکی لایه های خاکی مقطع مورد مطالعه، در جدول ۱ نشان داده شده است. تراز آب در عمق ۵/۵ متری از سطح زمین قرار دارد. در مورد برآورد پارامترهای جنبش نیرومند زمین برای سطوح طراحی لرزه ای سطح حداقل طراحی (*MDL*) ۱۱ و سطح مبنای طراحی (*DBL*) ۱۲ از روش احتمالاتی و برای سطح طراحی لرزه ای سطح حداقل پذیرفتی (*MCL*) ۱۳ نیز از روش تعیینی استفاده شده است (سازمان قطار شهری تبریز، ۱۳۸۲).

جدول ۱. خصوصیات ژئومکانیکی لایه‌های خاکی مقطع مورد مطالعه (سازمان قطار شهری تبریز، ۱۳۸۲)

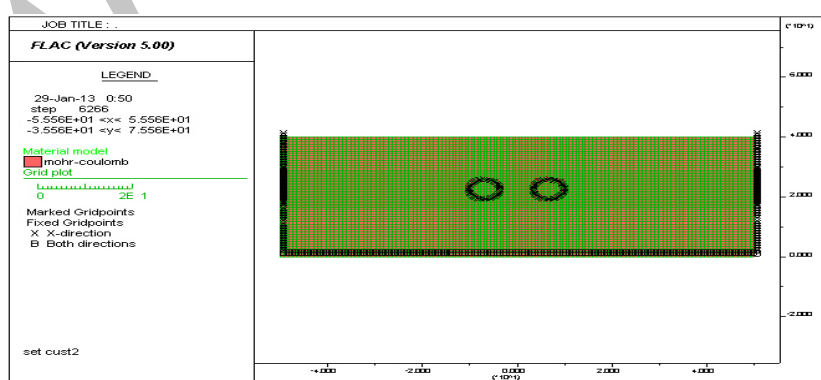
مدول الاستیستیته (MPa)	زاویه اصطکاک (درجه)	چسبندگی (KPa)	چگالی (کیلونیوتن)	ضخامت لایه (متر)
۱۱	۳۲	۰	۱۹۰۰	۱۱
۱۶	۳۳	۰	۱۹۰۰	۱۹
۳۰	۲۶	۱۰	۲۰۰۰	۱۰

جدول ۲. پارامترهای جنبش نیرومند زمین برای سطوح مختلف طراحی لرزه‌ای (سازمان قطار شهری تبریز، ۱۳۸۲)

سطح طراحی لرزه‌ای	دوره بازگشت (سال)	PGA(g)	
		مؤلفه افقی	مؤلفه قائم
سطح مبنای طراحی (DBL)	۵۰۰ سال (۱۹٪ احتمال خطر در ۱۰۰ سال عمر مفید سازه)	۰/۳۵	۰/۲۴
سطح حداکثر طراحی (MDL)	۲۰۰۰ سال (۷/۵٪ احتمال خطر در ۱۰۰ سال عمر مفید سازه)	۰/۵۴	۰/۳۹
(MCL)	-	۰/۵۷	۰/۴

جدول ۳. مشخصات سگمنت‌های به کار برد شده (سازمان قطار شهری تبریز، ۱۳۸۲)

ضریب پواسون	ممان اینرسی (m^4)	$\frac{KN}{m^2}$ مدول الاستیستیته ()	وزن مخصوص (کیلونیوتن)	ضخامت سگمنت (متر)
۰/۲	۰/۰۰۲۲۵	۲۵/۲	۲۴	۰/۳



شکل ۱. ابعاد و هندسه مدل ساخته شده

جدول ۴. ماکریزم نیروهای داخلی در حالت استاتیکی

تونل سمت چپ	تونل سمت راست	
۸۶۲۸۳	۹۱۵/۵	نیروی محوری (KN)
۱۲۱/۶	۱۶۴/۶	ممان خمشی (KN.m)
۷۵/۹۷	۱۰۶/۱	نیروی برشی (KN)

۶-۲- تدوین تاریخچه زمانی زلزله های طراحی

برای برآورد خطر زلزله در یک منطقه، تنها بزرگی زلزله احتمالی مورد توجه قرار گرفته و سپس بر اساس یک سری روابط تجربی دامنه حرکات زمین، معمولاً دامنه حداکثر شتاب تعیین می شود تا بر اساس آن بار زلزله احتمالی آن منطقه به صورت شتابنگاشت تعیین شود. به عبارت دیگر در برآورد خطر زلزله از سایر پارامترهای حرکات زمین، اطلاعات چندانی به دست نمی آید. بدین منظور تحلیل دینامیکی تونل با سه نوع شتابنگاشت با شرایط کاملاً متفاوت انجام شده است، که دو شتابنگاشت دارای شتاب حداکثر یکسان و محتوای فرکانسی متفاوت و شتابنگاشت دیگر نیز با دامنه شتاب کمتر از این دو شتابنگاشت می باشد. سه شتابنگاشت زلزله ۱۹۹۹ دوزجه ۱۴ ترکیه، زلزله ۱۹۸۹ لوماپریتا ۱۵ آمریکا و زلزله ۱۳۸۱ چنگوره-آوج (از توابع شهرستان بوئین زهرا، واقع در استان قزوین) استفاده شده است. شتابنگاشت دوزجه و لوماپریتا در سطح MCL و برای شتاب ماکریزم $0.57g$ و شتابنگاشت چنگوره و آوج برای زلزله در سطح DBL و برای شتاب $0.35g$ مقیاس شدند. لازم به ذکر است که کلیه مراحل اصلاح شتابنگاشتها اعم از مقیاس کردن، فیلترسازی و تصحیح خط مبنای، با استفاده از نرم افزار Seismosignal (Seismosoft Ltd, 2011) انجام شده است.

۵- تحلیل استاتیکی تونل

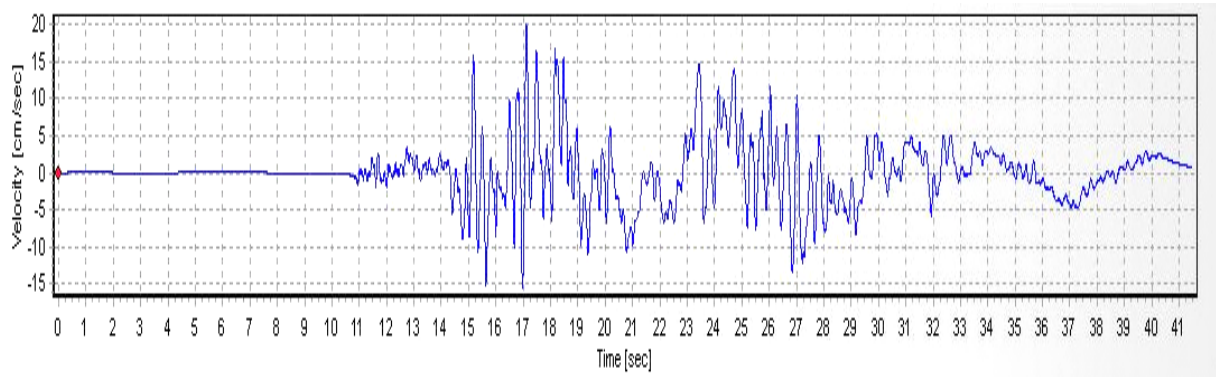
۱-۵- تعیین نیروی محوری و برشی و لنگر خمشی القاء شده در پوشش

با توجه به تحلیل های انجام شده بر روی پوشش بتی تونل های مورد مطالعه، نیروی محوری، لنگر خمشی و نیروی برشی ایجاد شده در پوشش تونل ها در جدول ۴ آورده شده است. همان طور که نشان داده شده است، نیروهای داخلی حداکثر در تونل اولی (تونل سمت راست) بیشتر از تونل دومی (تونل سمت چپ) می باشد.

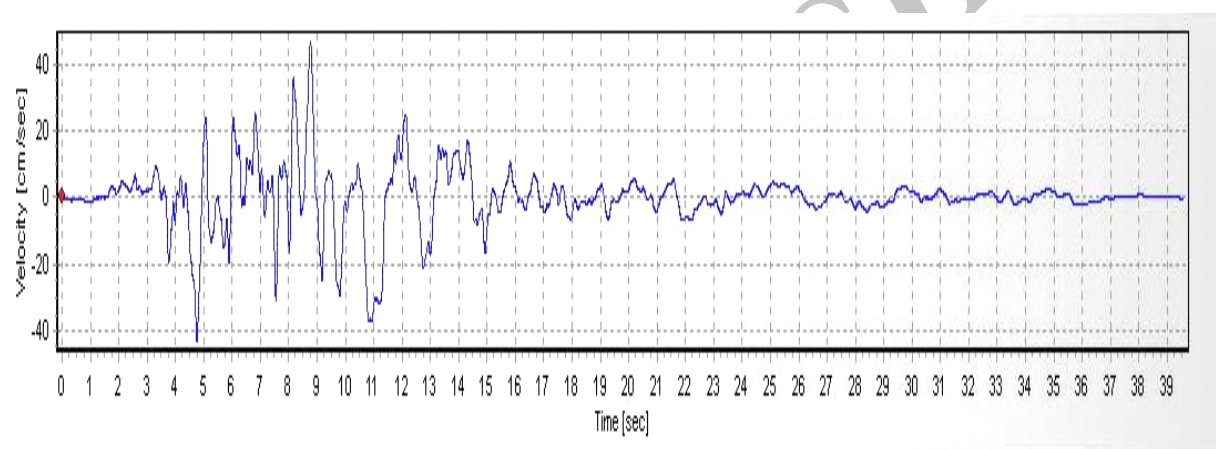
۶- تحلیل دینامیکی تونل های قطار شهری تبریز

۶-۱- بررسی ابعاد المان های مدل

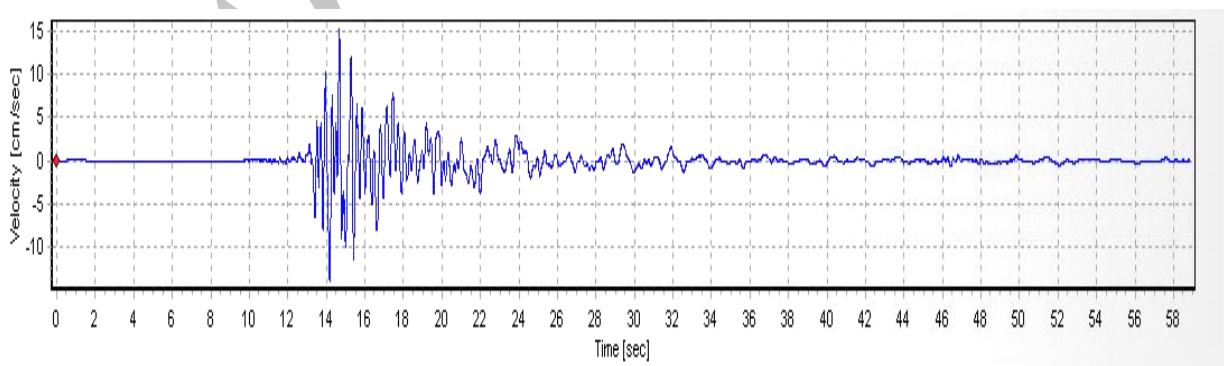
در مدل سازی عددی، برای تحلیل دینامیکی رفتار زمین و برای جلوگیری از اعوجاج در اثر انتشار موج در مدل، لازم است تا بزرگ ترین بعد المان کوچک تر از یک دهم تا یک هشتم طول موج بزرگ ترین فرکانس موج ورودی باشد.



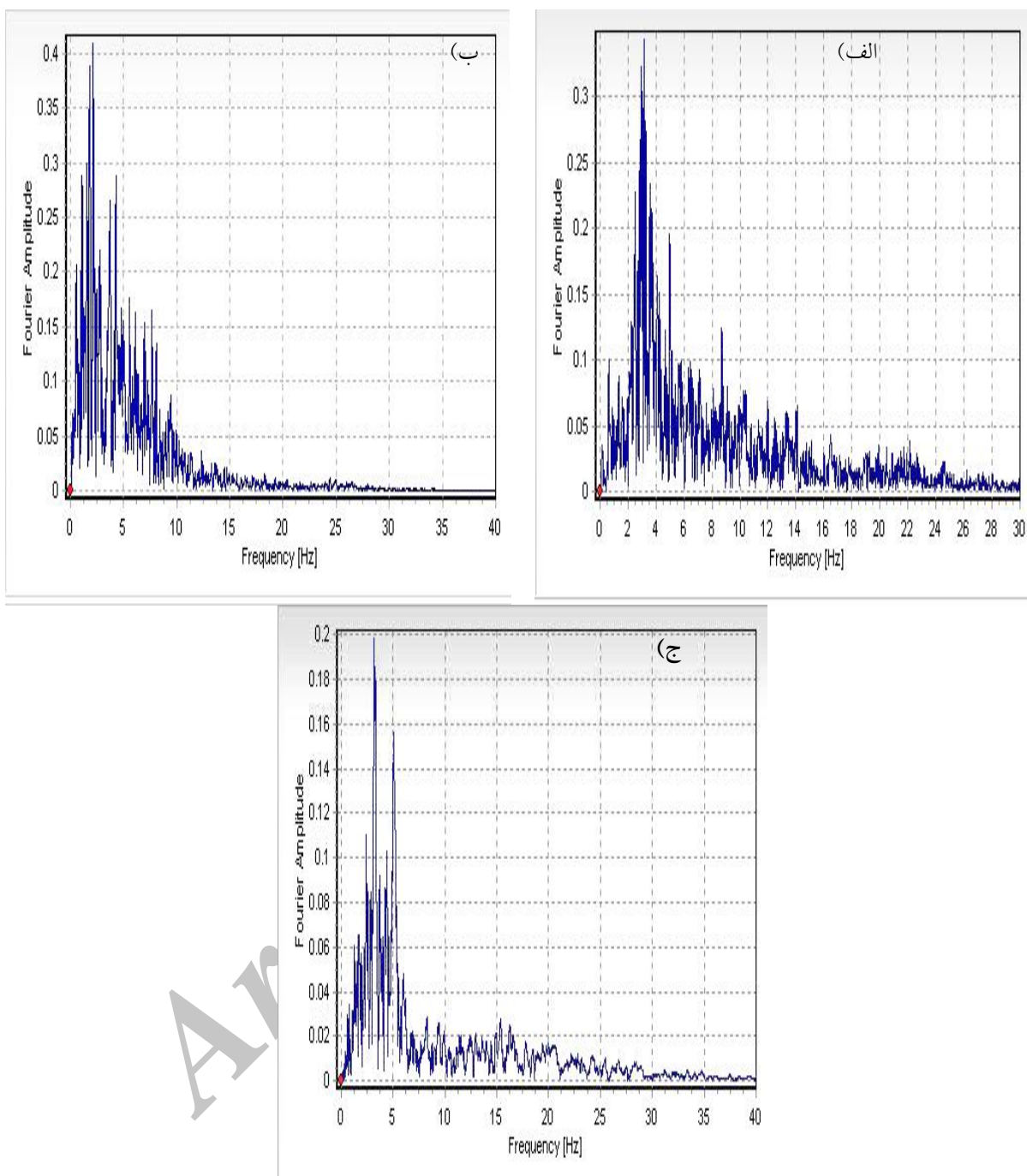
شکل ۲. تاریخچه زمانی سرعت اصلاح شده زلزله دوزچه



شکل ۳. تاریخچه زمانی سرعت اصلاح شده زلزله لوماپریتا



شکل ۴. تاریخچه زمانی سرعت اصلاح شده زلزله چنگوره - آوج



شکل ۵. طیف فوریه متناظر با شتابگاشت (الف) دوزچه - (ب) لوماپریتا - (ج) چنگوره- آوج

و C_2 برای درجه تراکم ۵۰ درصد به ترتیب ۰/۴۳ و ۰/۹۳ محسوبه شدند.

$$C_2 = \frac{0.4}{C_1} \quad (5)$$

۶- بارگذاری دینامیکی و شرایط مرزی

برای نزدیک کردن مسئله مدل شده به واقعیت، باید انعکاس موج در مرزهای مدل را به حداقل رساند. این کار را می‌توان با استفاده از شرایط مرزی آرام (ویسکوز) انجام داد. بعد از تحلیل استاتیکی، شرایط مرزی ویسکوز اعمال می‌شود. در طرفین و کف مدل مرزهای آرام تعییه شده است.

در نرم افزار *FLAC* ورودی دینامیکی را می‌توان به صورت یکی از تاریخچه‌های زمانی شتاب، سرعت، تنش (فشار یا نیرو)، می‌توان به کار برد. اما در صورت استفاده از ورودی شتاب یا سرعت، نمی‌توان در مرزهای مدل دینامیکی، شرایط مرزی را در طول مرز یکسانی مانند شرایط مرزی آرام (ویسکوز) به کار برد، زیرا اثر مرز آرام خشی خواهد شد.

بر اساس این دو واقعیت، بارگذاری دینامیکی حاصل از زلزله، به صورت یک موج صفحه‌ای بر بشی در نظر گرفته شده است که از کف مدل در جهت قائم منتشر می‌شود. برای وارد کردن حرکات لرزه‌ای در مرز آرام، یک شرایط مرزی تنش دار استفاده می‌شود، به عبارت دیگر، یک رکورد سرعت به یک رکورد تنش تبدیل شده و بر روی مرز آرام به کار گرفته می‌شود. تاریخچه سرعت یک موج بر بشی را می‌توان با فرمول زیر به یک تاریخچه تنش بر بشی تبدیل کرد:

$$\sigma_s = -2\rho c_s v_s \quad (6)$$

که در این رابطه ρ چگالی خاک، C_s سرعت موج بر بشی و v_s سرعت حرکات زمین می‌باشد. مضرب ۲ در رابطه بالا به این دلیل است که نیمی از انرژی ورودی توسط مرزهای آرام جذب شده است و تنها نیمی از آن که مقدار واقعی بار دینامیکی است، به مدل اعمال می‌شود. برای کاربردی شدن تاریخچه‌ی تنش

۶-۳- آنالیز دینامیکی مدل با استفاده از مدل رفتاری فین که در این رابطه ضرایب C_1, C_2, C_3 و C_4 مقادیر ثابتی هستند که با استفاده از آزمایشات سه محوری سیکلی حاصل می‌شوند. توجه شود که زمانی که کرنش بر بشی صفر می‌شود مقدار کرنش حجمی نیز صفر می‌گردد بنابراین، اگر صفر شود، این حاکی از آن است که ثابت‌ها به شرح زیر در ارتباط هستند:

$$\Delta \varepsilon_{vd} = C_1(\gamma - C_2 \varepsilon_{vd}) + \frac{C_3 \varepsilon_{vd}^2}{\gamma + C_4 \varepsilon_{vd}} \quad (1)$$

مارتنین و همکاران، ۱۹۷۵ سپس با فرض مدول معین و شرایط مرزی برای محاسبه تغییر در فشار منفذ ادامه دادند. فرمول جایگزین و ساده‌تر، توسط بایرن^{۱۷} (۱۹۹۱) پیشنهاد شده است:

$$C_1 C_2 C_4 = C_3 \quad (2)$$

که C_1 و C_2 ثابت‌هایی هستند که تفسیرهای مختلفی از معادله بالا می‌باشند. که به صورت زیر قابل محاسبه هستند:

$$\Delta \varepsilon_{vd} = C_1 \exp(-C_2 \left(\frac{\varepsilon_{vd}}{\gamma} \right)) \quad (3)$$

که D_r درجه تراکم خاک می‌باشد. در نرم افزار *FLAC* این دو مدل رفتاری زمانی که تحلیل دینامیکی فعال است، قابل دسترسی می‌باشند. بنابراین، می‌توان با توجه به خصوصیات این مدل‌های رفتاری از آنها برای مدل سازی روانگرایی که با کاهش تنش مؤثر و افزایش فشار آب حفره‌ای همراه است، استفاده نمود. شایان ذکر است که پایه هر دو مدل بیان شده، مدل موهر کولمب می‌باشد و این مدل‌های رفتاری قابلیت در نظر گرفتن تغییرات نمو کرنش حجمی و کاهش حجم در خلال اعمال بارهای دینامیکی را به مدل موهر کولمب داده اند.

$$C_1 = 7600 D_r^{-2.5} \quad (4)$$

از مدل رفتاری فین و روش بایرن استفاده شد. ضرایب C_1

لازم به ذکر است که به سبب لایه‌ای بودن مقطع مدل شده، تاریخچه حرکت ثبت شده در این مدل قدری نامنظم می‌باشد. مقدار فرکانس طبیعی مدل 0.83 هرتز به دست می‌آید.

بنابراین با توجه به تحلیل‌های انجام یافته، فرکانس مرکزی را می‌توان به ترتیب $1/9$ ، $1/4$ و $1/9$ هرتز برای شتابنگاشت‌های دوزچه، لوماپریتا و چنگوره-آوج انتخاب نمود. نسبت میرایی بحرانی دو میهن پارامتری است که باید مشخص شود.

اگرچه اندازه گیری در این زمینه انجام نشده است اما براساس تجربه برای مصالح رئوتکنیکی، معمولاً میرایی بحرانی در محدوده 2 تا 5 درصد تعیین می‌شود.

۶- بررسی روانگرایی در اطراف تونل

یکی از مشخصات عمدۀ روانگرایی خاک‌ها کاهش تنش مؤثر و افزایش فشار آب حفره‌ای است. تغییرات تنش مؤثر و فشار آب حفره‌ای در خاک اطراف تونل را بعد از بارگذاری دینامیکی برای سه زلزله نشان می‌دهد.

با توجه به این شکل‌ها، با اعمال بار لرزه‌ای تنش مؤثر در منطقه کاهش یافته و میزان فشار آب حفره‌ای نیز افزایش می‌باید سوق تنش مؤثر به سمت صفر، حاکی از روانگرایی خاک و افزایش فشار آب حفره‌ای در شرایط غیرزهکشی می‌باشد. به طور کلی، روانگرایی در زلزله لوماپریتا نسبت به زلزله دوزچه و چنگوره-آوج بیشتر است که این می‌تواند به دلیل نزدیک بودن فرکانس غالب بار زلزله لوماپریتا به فرکانس طبیعی زمین و همچنین بالا بودن محتوای فرکانسی آن نسبت به زلزله دوزچه باشد. همچنین کاهش دامنه شتاب در زلزله چنگوره-آوج باعث کاهش روانگرایی نسبت به دو زلزله دیگر شده است.

حاصله و کاهش زمان اجرای برنامه‌ها، از برخی ارتعاشات خفیف صرف‌نظر کرده و تنها بخشی از ارتعاشات را که اهمیت بیشتری دارند، در نظر گرفته می‌شود. برای این منظور بار زلزله در بازه‌های زمانی 14 تا 30 ، 3 تا 16 و 13 تا 23 ثانیه، به ترتیب از بار زلزله‌های دوزچه، لوماپریتا و چنگوره-آوج به صورت تنش برشی به پایه مدل و در راستای قائم به سمت بالا اعمال می‌شود.

۶-۵- میرایی

در برنامه‌های مربوط به حوزه زمان، معمولاً از میرایی رایلی، برای اعمال میرایی که تقریباً مستقل از فرکانس باشد، استفاده می‌شود. برای میرایی رایلی دو مقدار فرکانس مرکزی و نسبت میرایی بحرانی به مدل اعمال می‌شود اثرات واپسیه به فرکانس به گونه‌ای آرایش می‌یابند تا فرکانس‌های مورد نظر را حذف کند. بنابراین می‌توان محدوده‌ای از فرکانس‌ها را یافت که در آن محدوده نسبت میرایی بحرانی مستقل از فرکانس باشد. فرکانس غالبه که در برنامه استفاده می‌شود، باید در این محدوده فرکانس واقع شده باشد.

فرکانس مناسب به صورت متوسط فرکانس غالب بار ورودی و فرکانس طبیعی سیستم تعیین می‌شود فرکانس غالب به ترتیب 3 و 2 هرتز برای شتابنگاشت‌های دوزچه، لوماپریتا و چنگوره-آوج است.

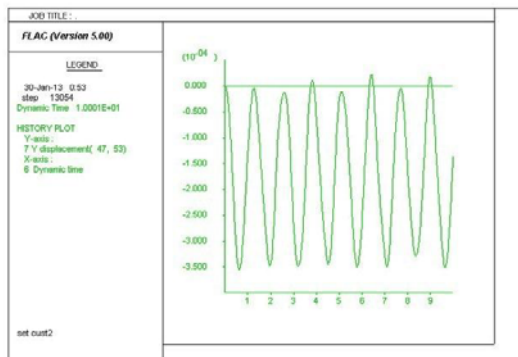
برای تعیین فرکانس طبیعی سیستم، یک مدل ساده از مسئله، تهیه می‌شود و بدون اعمال موج برشی، نیروی ثقل به طور ناگهانی و در حالت بدون میرایی به مدل اعمال می‌شود. در این شرایط مدل شروع به نوسان کرده و با ثبت تاریخچه جابجایی قائم نقطه‌ای از مدل، می‌توان فرکانس طبیعی را تعیین کرد. در این حالت، به صورت شکل تاریخچه جابجایی آن نقطه نسبت به زمان رسم شده و دوره یک موج را حساب کرده و عکس این مقدار به عنوان فرکانس طبیعی مدل می‌باشد.

۶-۷- پاسخ دینامیکی تونل‌ها به زلزله‌های سطوح طراحی

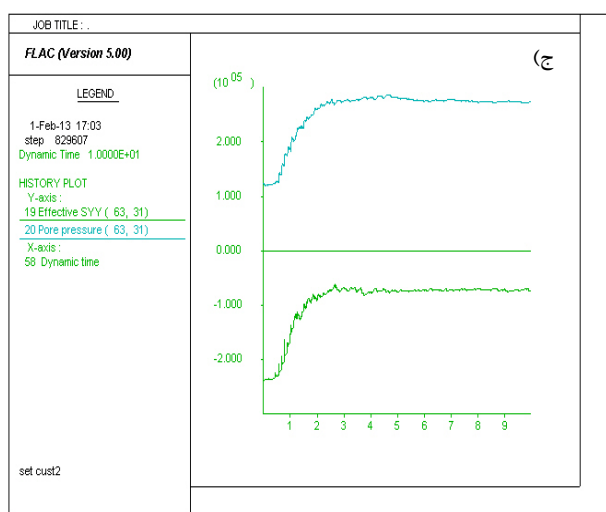
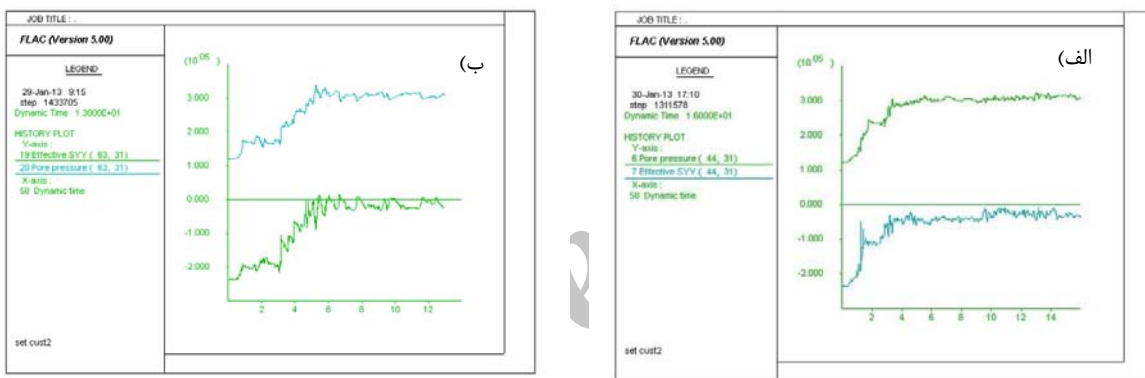
قطعیت حرکت زمین، آنالیز شوند.
زلزله چنگوره- آوج نیز با توجه به اینکه دارای دامنه شتاب ماکزیمم کمتری نسبت به دو زلزله دیگر می‌باشد، در نتیجه مقدار نیروهای داخلی کمتری در تونل ایجاد می‌کند.
برخلاف اغلب بارهای دینامیکی، پیش‌بینی حرکات ناشی از زلزله بسیار دشوار بوده و تا زمانی که زلزله‌ای به وقوع نپیوندد، نمی‌توان به درستی در مورد مشخصات و حرکات آن اظهار نظر کرد. هر زلزله پاسخ منحصر به فردی را به وجود می‌آورد که مشخصات آن وابسته به عوامل متعددی از جمله بزرگی زلزله، محتوای فرکانسی، فرکانس غالب و دامنه شتاب ماکزیمم می‌باشد. برای برآورد خطر زلزله در یک منطقه، تنها بزرگی زلزله احتمالی مورد توجه قرار گرفته و سپس بر اساس یک سری روابط تجربی دامنه حرکات زمین، معمولاً به صورت دامنه حداکثر شتاب تعیین می‌شود، تا بر اساس آن بار زلزله احتمالی آن منطقه به صورت شتابنگاشت تعیین شود. به عبارت دیگر در برآورد خطر زلزله از سایر پارامترهای حرکات زمین، اطلاعات چندانی به دست نمی‌آید، اما همان‌طور که به دست آمد، علاوه بر دامنه حرکات زمین، محتوای فرکانسی بار زلزله نیز تأثیر زیادی بر پاسخ دینامیکی سازه‌ها می‌گذارد.

در این بخش پاسخ دینامیکی تونل‌های قطار شهری تبریز در مقابل زلزله سطوح طراحی مورد بررسی قرار گرفته شده است. با توجه به اینکه در زمان‌های مختلف، بارگذاری زلزله متفاوت می‌باشد لذا مقدار نیروهای داخلی در طول تاریخچه زمانی متغیر بوده و در نتیجه محل رخداد بیشینه نیروها با زمان تغییر می‌کند. تاریخچه زمانی حداکثر نیروهای محوری، نیروی برشی و لنگرهای خمسی ایجاد شده در پوشش تونل در طول مدت بارگذاری به ترتیب در شکل‌های نشان داده شده است. همچنین مقدار حداکثر نیروهای داخلی در جدول آورده شده است.
اگر چه، هر دو شتابنگاشت دوزچه و لوماپریتا به شتاب حداکثر یکسان مقیاس‌بندی شده است، حرکت ورودی لوماپریتا موجب پاسخ‌های بسیار بزرگتر در سیستم زمین- تونل نسبت به حرکت ورودی دوزچه بود.

اعتقاد بر این است که تفاوت به ویژگی‌های فرکانسی متفاوت این دو مجموعه از حرکات نسبت داده شده است. زلزله لوماپریتا با توجه به اینکه دارای محتوای فرکانسی بالا بوده و همچنین به دلیل نزدیک بودن فرکانس غالب زلزله لوماپریتا به فرکانس طبیعی زمین، منجر به ایجاد نیروهای داخلی بزرگتر در تونل‌ها می‌شود. همچنین این موضوع، نشان می‌دهد که در طراحی تونل‌های زیرزمینی، تعداد کافی از حرکات ورودی که سازگار با طیف طرح در منطقه هستند، باید با توجه به حساب آوردن عدم



شکل ۶. تاریخچه زمانی جابجایی قائم مدل در حالت ارتعاش آزاد نامیرا



شکل ۷. تغییرات تنفس مؤثر و فشار آب حفره‌ای در عمق قرارگیری توپل
الف) زلزله دوزچه - ب) زلزله لوماپریتا - ج) زلزله چنگوره - آوج

پژوهشنامه حمل و نقل، سال یازدهم، شماره دوم، تابستان ۱۳۹۳

جدول ۵. نیروهای داخلی حداکثر وارد بر سیستم نگهداری تونل با اعمال بار زلزله

DBL سطح	MCL سطح طراحی	
زلزله چنگوره و آوج	زلزله لوماپریتا	زلزله دوزچه
۱۱۰۳	۱۳۷۳	۱۲۸۳
۱۷۷	۴۱۵	۲۲۲
۱۳۷	۳۶۹	۱۶۸
		نیروی محوری (KN)
		ممان خمسمی (KN.m)
		نیروی برشی (KN)

جدول ۶. مقایسه نیروهای داخلی حداکثر وارد بر تونل‌ها در حالت استاتیکی و دینامیکی

زلزله چنگوره- آوج نسبت به حالت استاتیکی	زلزله لوماپریتا نسبت به حالت استاتیکی	زلزله دوزچه نسبت به حالت استاتیکی	
۲۶	۵۰	۴۰	نیروی محوری (درصد)
۸	۱۵۲	۳۵	ممان خمسمی (درصد)
۲۹	۲۴۸	۵۸	نیروی برشی (درصد)

نسبت به دو زلزله دیگر شده است.

- با توجه به این که در زمان‌های مختلف، بارگذاری زلزله متفاوت می‌باشد، بنابراین، مقدار نیروهای داخلی در طول تاریخچه زمانی متغیر بوده و در نتیجه محل رخداد بیشینه نیروها با زمان تغییر می‌کند.

- اگر چه، هر دو شتابنگاشت دوزچه و لوماپریتا به شتاب حداکثر یکسان مقیاس بندی شدند، حرکت ورودی لوماپریتا موجب پاسخ‌های بسیار بزرگتر در سیستم زمین- تونل نسبت به حرکت ورودی دوزچه بود. اعتقاد بر این است که تفاوت به ویژگی‌های فرکانسی متفاوت این دو مجموعه از حرکات نسبت داده شده است. زلزله لوماپریتا با توجه به این که دارای محتوای فرکانسی بالا بوده و همچنین به دلیل نزدیک بودن فرکانس غالب بار زلزله لوماپریتا به فرکانس طبیعی زمین و همچنین بالا بودن محتوای فرکانسی آن نسبت به زلزله دوزچه باشد. همچنین کاهش دامنه شتاب در زلزله چنگوره- آوج باعث کاهش روانگرایی

۷- نتیجه‌گیری

نتایج به دست آمده از این تحقیق، به شرح زیر می‌باشند:
- در تحلیل استاتیکی، نیروهای داخلی حداکثر در تونل اولی (تونل سمت راست) بیشتر از تونل دومی (تونل سمت چپ) می‌باشد.

- با اعمال بار لرزه‌ای، مقدار تنش مؤثر کاهش یافته و میزان فشار آب حفره‌ای نیز افزایش می‌یابد. سوق تنش مؤثر به سمت صفر، حاکی از روانگرایی خاک و افزایش فشار آب حفره‌ای در شرایط غیرزهکشی می‌باشد.

- به طور کالی روانگرایی در زلزله لوماپریتا نسبت به زلزله دوزچه و چنگوره- آوج بیشتر است که این می‌تواند بهدلیل نزدیک بودن فرکانس غالب بار زلزله لوماپریتا به فرکانس طبیعی زمین و همچنین بالا بودن محتوای فرکانسی آن نسبت به زلزله دوزچه باشد. همچنین کاهش دامنه شتاب در زلزله چنگوره- آوج باعث کاهش روانگرایی

- 13-Maximum Credit Level
- 14-Duzce
- 15-Loma Prieta
- 16-Martin et al
- 17- Byrne

می دهد که در طراحی تونل های زیرزمینی، تعداد کافی از حرکات ورودی که سازگار با طیف طرح در منطقه هستند، باید با توجه به حساب آوردن عدم قطعیت حرکات زمین، آنالیز شوند.

- زلزله چنگوره- آوج نیز با توجه به این که دارای دامنه شتاب ماکزیمم کمتری نسبت به دو زلزله دیگر می باشد، در نتیجه مقدار نیروهای داخلی کمتری در تونل ایجاد می کند.

- در برآورد خطر زلزله در یک منطقه، تنها بزرگی زلزله احتمالی مورد توجه قرار گرفته و از سایر پارامترهای حرکات زمین، اطلاعات چندانی به دست نمی آید، اما همان طور که به دست آمد، علاوه بر دامنه حرکات زمین، محتوای فرکانسی بار زلزله نیز تأثیر زیادی بر پاسخ دینامیکی سازه ها می گذارد.

- مقایسه نیروهای داخلی حداکثر وارد بر تونل ها در حالت دینامیکی و استاتیکی نشان می دهد که تغییرات نیروهای داخلی برای زلزله لومابریتا حداکثر مقدار را دارا می باشد. همچنین زلزله چنگوره- آوج کمترین تغییرات را نسبت به حالت استاتیکی دارد.

- ### ۹-مراجع
- Azadi, M. & Mir Mohammad Hosseini, S. 2010. Analyses of the effect of seismic behavior of shallow tunnels in liquefiable grounds. Tunnelling and Underground Space Technology, 25, pp. 543-552.
 - Chang, D., Travasarou, T. & Chacko, J. Numerical evaluation of liquefaction-induced uplift for an immersed tunnel. Proc., 14th World Conf. on Earthquake Eng.(WCEE), Seismological Press, Beijing, 2008.
 - Chian, S. & Madabhushi, S. Use of PIV analysis for soil deformations around a tunnel in liquefiable soils. Proceedings of the 14th European Conference on Earthquake Engineering, Ohrid, 2010.
 - Chian, S. & Madabhushi, S. 2012. Effect of buried depth and diameter on uplift of underground structures in liquefied soils. Soil Dynamics and Earthquake Engineering, pp. 181-190.
 - Hashash, Y., Hook, J. J. & SCHMIDT, B. 2001. Seismic design and analysis of underground structures. Tunnelling and Underground Space Technology, 16, pp. 247-293.
 - Itasca Consulting Group Inc. 2005. FLAC2D, version 5.00, Fast Legrangian Analysis of Continua.
 - Khoshnoudian, F. & Shahrour, I. 2002. Numerical analysis of the seismic behavior of tunnels constructed in liquefiable soils. Soils and foundations, 42, pp. 1-8.

۸-پی‌نوشت‌ها

- 1-Kobe
- 2-Chi-chi
- 3-Kocaeli
- 4-Niigata
- 5-Nihonkai-chubu
- 6- Luzon
- 7-Kushiro-oki
- 8-Particle Image Velocimetry
- 9-Tunnel Boring Machine
- 10- Earth Pressure Balance
- 11-Maximum Design Level
- 12-Design Base Level

- Yashiro, K., Kojima, Y. & Shimizu, M. 2007. Historical earthquake damage to tunnels in Japan and case studies of railway tunnels in the 2004 Niigataken-Chuetsu earthquake. Quarterly Report of RTRI, 48, pp.136-141.
- سازمان قطار شهری تبریز، "گزارش‌های مطالعات ژئوتکنیک خط یک مترو تبریز"، ۱۳۸۲.
- Seismosoft Ltd. 2011. SeismoSignal version 4.3.0.
- Xia, Z.-F., Ye, G.-L., WANG, J.-H., YE, B. & ZHANG, F. 2010. Numerical analysis on the influence of thickness of liquefiable soil on seismic response of underground structure. Journal of Shanghai Jiaotong University (Science), 15, pp.279-284.

Archive of SID